

大豆3个核心亲本及其衍生品系基于PAV分子标记的亲缘关系研究

王自力, 张吉顺, 郭呈宇, 孙峰峦, 李忠洋, 孔杰杰, 盖钧镒, 赵团结

(南京农业大学 大豆研究所/国家大豆改良中心/农业部大豆生物学与遗传育种重点实验室(综合)/作物遗传与种质创新国家重点实验室, 江苏南京 210095)

摘要:基因组大片段序列存在/缺失变异(presence/absence variation, PAV)作为一种基于PCR技术、方便快捷的新标记受到人们的关注,但在大豆遗传育种工作中的应用较少。大豆育种计划中一般会有一批核心亲本,揭示其作用特点有助于亲本选配。应用PAV标记对国家大豆改良中心种质创新计划中3个核心亲本(南农86-4、南农88-48和诱处4号)与国内外材料杂交所获得34个组合衍生品系及亲本共154份材料所构建的样本进行核心亲本对其衍生品系遗传贡献分析。结果表明:221个PAV标记的平均等位变异数为2.1,多态性信息含量指数(PIC)平均为0.239,位于基因内和基因间标记的丰富度和PIC平均值相当。基于PAV标记信息可将34个供试组合聚为6类,其中3个大类可分别与3个核心亲本的组合相对应,核心亲本与其衍生品系的遗传距离最小。154份材料可聚为9类,来自同一核心亲本、同一组合的材料多聚在一起,但也存在交叉现象。对23个单交和6个三交组合的亲本遗传贡献率分析表明,共有22个组合(占75.90%)的核心亲本对衍生品系的平均贡献率高于基于系谱的理论值,其中来自本地区的南农86-4、南农88-48对衍生品系的平均遗传贡献值总体上高于其它杂交亲本,而异生态区的诱处4号的贡献率相对较低。PAV标记能在系谱信息基础上进一步反映大豆亲本及衍生品系的亲缘关系。

关键词:大豆;PAV标记;育成品系;遗传多样性;核心亲本

中图分类号:S565.1 文献标识码:A DOI:10.11861/j.issn.1000-9841.2016.01.0001

Genetic Relationship of Three Soybean Core Parents and Their Derived Breeding Lines Detected by Presence/Absence Variation Markers

WANG Zi-li, ZHANG Ji-shun, GUO Cheng-yu, SUN Feng-luan, LI Zhong-yang, KONG Jie-jie, GAI Jun-yi, ZHAO Tuan-jie

(Soybean Research Institute/National Center for Soybean Improvement/Key Laboratory for Biology and Genetic Improvement of Soybean (General), Ministry of Agriculture/National Key Laboratory of Crop Genetics and Germplasm Enhancement, Nanjing Agricultural University, Nanjing 210095, China)

Abstract: A new molecular marker system, presence/absence variation (PAV) of large fragment genomic sequences shows potential because of its convenient PCR-based technique and distinct band distribution on. However, its application in soybean breeding and genetic research remains to be carried. There are some core parents in soybean breeding program, which are the key to success in breeding, revealing their role is helpful for parent selection in hybrid breeding work. In this study, total 154 soybean materials including 28 parents and 126 breeding lines were used to reveal their genetic relationship. These lines were derived from the crosses between three core parents (Nannong 86-4, Nannong 88-48 and Youchu 4) and a set of domestic and exotic lines in a breeding program in National Center of Soybean Improvement. The average number of allele per PAV was 2.1. The average value of polymorphic information content (PIC) per PAV was 0.239. The average allele number of the gene-based and non-coding region PAV marker and the average values of polymorphic information content (PIC) of the two PAV types were almost the same. All 34 crosses were clustered into 6 groups based on PAV markers data, among them, three big groups correspond to the three core parents could be identified. All 154 materials were clustered into 9 groups. Most lines from the same core parent or same cross were classified as a group. According to the genetic contribution rate of PAV allele of the core parents, 22 crosses had higher average contribution rate than the expected ratio in the 29 crosses. The observed contribution values of core parent Nannong 86-4, Nannong 88-48 were higher than the expected values based on pedigree analysis, while Youchu 4 from other region had less contribution to the derived lines, indicating the rationalities of using local elite line as core parent in breeding program. In comparison with pedigree analysis, PAV marker can reveal detail genetic relationship among the parents and their derived lines.

Keywords: Soybean; PAV marker; Breeding line; Genetic diversity; Core parent

收稿日期:2015-03-23

基金项目:国家高技术研究发展计划“863计划”(2012AA101106);国家自然科学基金(31271750);国家公益性行业(农业)科研专项经费(201203026-4);长江学者和创新团队发展计划(PCSIRT13073);江苏省优势学科建设工程专项(PAPD);江苏省现代作物生产协同创新中心项目(JCIC-MCP)。

第一作者简介:王自力(1990-),男,硕士,主要从事大豆分子育种研究。E-mail: njauwang@126.com。

通讯作者:盖钧镒(1936-),男,教授,博导,主要从事大豆遗传育种和数量遗传研究。E-mail: sri@njau.edu.cn;

赵团结(1969-),男,教授,博导,主要从事大豆遗传育种研究。E-mail: tjzhao@njau.edu.cn。

与传统的表型标记相比较,利用分子标记对大豆材料进行遗传分析,不受基因表达的时空限制和环境条件的影响,能够更快捷、准确地了解育种材料的遗传变异信息,针对性地选择亲本,从而培育出优良的品种组合^[1]。目前,已有多种DNA分子标记(RFLP、AFLP、RAPD、SSR、SNP等)被用于多种农作物的分子连锁图的构建、遗传多样性分析、品种鉴定、分子标记辅助育种等方面的研究^[2]。作物全基因组序列信息使新型标记的开发与应用成为研究热点^[3]。基因组大片段存在/缺失(Presence/Absence variation, PAV)标记即结构变异标记是指序列在一个基因组中存在,但在另一个基因组中完全缺失^[4-5]。PAV标记是新型的分子标记类型,普遍存在于各种生物的基因组中,可根据插入缺失位点两端的序列设计引物。在过去几年中,已经普遍在人类^[6]、果蝇^[7]、细菌^[8]以及植物^[9-13]研究中观察到。研究表明,PAV标记可结合SSR、SNP等标记满足精细定位目的基因的需要,且可以较容易地通过生物信息学的方法获得,特异性高、经济实用、稳定性好。PAV标记已用于植物基因组及供试群体遗传多样性研究^[9-13]。近年来,PAV标记已应用于大豆多样性及遗传变异的研究^[14]。

在农作物新品种选育过程中,一些亲本具有配合力高、优良性状的遗传力强等优点,由其衍生许多新品种,这类亲本被称为核心亲本^[15]。大豆育种中也有类似情况。21个祖先核心亲本对美国1947—1988年258个公共单位育成的大豆品种的贡献达84.60%;对1999—2001年公共和私营单位育成的312个品种的贡献占87.30%^[16]。熊冬金等^[17]通过系谱分析,归纳出了1986—2005年间中国941个大豆育成品种最重要的54个祖先亲本和37个直接亲本。在育种计划中,一些核心亲本被经常使用,育成大量新品种,这些品种具有的育种和生产利用潜力值得重视。本研究利用PAV标记分析3个核心亲本(南农86-4、南农88-48和诱处4号)与国内外优良品种(品系)及中间材料的衍生品系的遗传关系,并通过比较其遗传背景、种间亲缘关系、系谱和标记的聚类分析结果,揭示其遗传关系,分析核心亲本形成的基本条件,同时解释核心亲本对衍生品系的遗传物质的传递及分布,旨在为今后的大豆设计育种和核心亲本预测奠定基础,也为高效利用这些种质提供理论依据。

1 材料与方法

1.1 材料

所用材料均来自国家大豆改良中心种质创新计划,主要面向江淮地区选育熟期适宜、优质、高产新种质。供试材料共154份,包括以南农86-4、南农88-48和诱处4号3个核心亲本与不同来源种质杂交共34个组合衍生的新品系126份及其亲本28个(表1)。3个核心亲本中,南农86-4是从骨干亲本南农1138-2通过自然变异选择育种获得,关荣霞等^[18]利用48对SSR标记分析发现南农86-4和南农1138-2的相似性达77.08%,具有高产高油等优良特性,其系谱可追溯到南方核心祖先亲本奉贤穗稻黄^[19]。南农88-48选自南农73-935×SRF400组合,南农73-935则为骨干祖先亲本奉贤穗稻黄和51-83(南农493-1亲本)杂交后代,具有早熟高产等优点^[20]。诱处4号是早熟3号×蒙城大青豆的辐射诱变选系,系谱可追溯到58-161、徐豆1号、金元、铁英四粒黄、嘟噜豆等黄淮和东北的骨干亲本,其具有高产高光效特点,曾获得4 500 kg·hm⁻²的高产纪录^[21]。育成品系采用混合法,各组合F₂~F₄代摘荚处理,F₅~F₆代选丰产性、株型好的单株种成株行,再从中选择丰产性好、性状稳定的品系用于本研究。每个组合有2~7个品系,世代已到F₈~F₁₄代。为便于叙述,南农86-4、南农88-48和诱处4号的衍生品系分别以N、E和Y表示,部分同时含两个核心亲本的以先出现的亲本表示,亲本则以P表示,第一个数字表示组合号,第二个数字表示衍生品系号。

1.2 PAV标记基因型分析

采用CTAB法^[22]提取样品DNA。利用已公布的大豆PAV引物开发和多态性分析数据^[14],选取在供试样本中存在多态性的221对PAV引物(表2),在染色体上的分布密度是8~22个,标记间平均遗传距离约为10 cM。基因型检测程序按文献Wang等^[14]所述,基本过程简述如下:PCR反应体系为20 μL,10×PCR buffer 2 μL、2.5 μmol·L⁻¹ dNTP 1.6 μL、25 mmol·L⁻¹ MgCl₂ 1.2 μL、上下游引物(10 μmol·L⁻¹)各0.1 μL、模板(40 ng·μL⁻¹)0.5 μL和0.2 μL Taq酶(5 U·μL⁻¹)。PCR反应过程如下:94℃预变性5 min,95℃ 40 s,55℃退火1 min,72℃延伸2 min,共35个循环,最后72℃延伸

10 min。PCR 反应均在 GeneAmp PCR 9700(Applied Biosystems, Foster City, CA, USA) 中进行。利用 1.5% 琼脂糖凝胶检测产物片段大小。

1.3 基于 PAV 标记的遗传多样性及亲本遗传贡献分析

使用 PowerMarker V 3.25 软件^[23]对 154 份材料进行遗传多样性分析,计算每个标记的等位变异数和多态性信息含量指数^[24](polymorphism information content, PIC)。其计算公式为:

$$PIC = 1 - \sum_{i=1}^m p_i^2 - \sum_{i=1}^{m-1} \sum_{j=i+1}^m 2p_i p_j$$

式中, p_i 是第 i 个等位基因在群体中的频率, p_j

为第 j 个等位基因在群体中的频率, m 为等位基因数。依照基因型数据运用 Nei^[25]求算遗传距离,根据所计算的遗传距离,按非加权类平均法(unweighted pair group method with arithmetic mean, UPGMA)进行聚类分析。利用软件 FigTree V 1.4.0 绘制亲缘关系树状图。进一步比较 34 个组合材料基于系谱和 PAV 标记的供试材料亲缘关系。

核心亲本对后代的遗传贡献分析:先统计单交、三交组合在亲本间表现多态的 PAV 标记。统计后代品系中表现为核心亲本等位变异类型的标记所占比例,作为核心亲本遗传贡献的估计值。

表 1 供试材料及其基于 PAV 标记信息的聚类结果

Table 1 List of the materials and their classification based on the data of PAV markers

| 编号 Code | 组合/亲本名称 Cross/Parent name | 聚类结果 Cluster | 编号 Code | 组合/亲本名称 Cross/Parent name | 聚类结果 Cluster | 编号 Code | 组合/亲本名称 Cross/Parent name | 聚类结果 Cluster |
|------------|------------------------------|-----------------|------------|------------------------------|-----------------|------------|------------------------------|-----------------|
| N1-1 | NN86-4/NN86-4 | IX | E1-3 | 22369/NN88-48 | IX | Y5-3 | Sp//NN493-1/YC4 | IX |
| N1-2 | NN86-4/NN86-4 | IX | E1-4 | 22369/NN88-48 | IX | Y6-1 | Chuxiu//NXHD/YC4 | IX |
| N1-3 | NN86-4/NN86-4 | IX | E2-1 | NN88-48/NG4690 | VIII | Y6-2 | Chuxiu//NXHD/YC4 | IX |
| N1-4 | NN86-4/NN86-4 | IX | E2-2 | NN88-48/NG4690 | VIII | Y6-3 | Chuxiu//NXHD/YC4 | IX |
| N1-5 | NN86-4/NN86-4 | IX | E2-3 | NN88-48/NC4690 | VIII | Y7-1 | HCBYB/YC4 | VII |
| N2-1 | NN86-4/NH5 | IX | E3-1 | NN88-48/NN87-17 | VIII | Y7-2 | HCBYB/YC4 | VII |
| N2-2 | NN86-4/NH5 | VIII | E3-2 | NN88-48/NN87-17 | VIII | Y7-3 | HCBYB/YC4 | VII |
| N2-3 | NN86-4/NH5 | IX | E3-3 | NN88-48/NN87-17 | VIII | Y7-4 | HCBYB/YC4 | VII |
| N2-4 | NN86-4/NH5 | IX | E3-4 | NN88-48/NN87-17 | VIII | Y8-1 | XSD/YC4 | IX |
| N3-1 | NN86-4/NT-1 | V | E4-1 | NN88-48/AGH | VIII | Y8-2 | XSD/YC4 | IX |
| N3-2 | NN86-4/NT-1 | V | E4-2 | NN88-48/AGH | VIII | Y9-1 | YC4/NG5545 | VI |
| N3-3 | NN86-4/NT-1 | VIII | E4-3 | NN88-48/AGH | VIII | Y9-2 | YC4/NG5545 | VI |
| N4-1 | NN86-4/Sp | IX | E4-4 | NN88-48/AGH | VIII | Y9-3 | YC4/NG5545 | VI |
| N4-2 | NN86-4/Sp | IX | E4-5 | NN88-48/AGH | IX | Y10-1 | YC4/Graham | VI |
| N4-3 | NN86-4/Sp | IX | E4-6 | NN88-48/AGH | VIII | Y10-2 | YC4/Graham | VI |
| N4-4 | NN86-4/Sp | IX | E5-1 | NN88-48/NT-1 | VIII | Y11-1 | YC4/Chudou 1 | IX |
| N4-5 | NN86-4/Sp | IX | E5-2 | NN88-48/NT-1 | VIII | Y11-2 | YC4/Chudou 1 | IX |
| N5-1 | NN86-4/Vance | IX | E5-3 | NN88-48/NT-1 | VIII | Y11-3 | YC4/Chudou 1 | IX |
| N5-2 | NN86-4/Vance | IX | E6-1 | NN88-48/Sp | VIII | Y11-4 | YC4/Chudou 1 | VIII |
| N6-1 | NN86-4/XSD | IX | E6-2 | NN88-48/Sp | IX | Y12-1 | ZGDD/YC4 | IX |
| N6-2 | NN86-4/XSD | IX | E6-3 | NN88-48/Sp | VIII | Y12-2 | ZGDD/YC4 | IX |
| N7-1 | NN86-4/XSD//NN87-23 | V | E6-4 | NN88-48/Sp | VIII | Y12-3 | ZGDD/YC4 | IX |
| N7-2 | NN86-4/XSD//NN87-23 | IX | E7-1 | NN88-48/T173 | VIII | P1 | NG4690 | VI |
| N7-3 | NN86-4/XSD//NN87-23 | IX | E7-2 | NN88-48/T173 | VIII | P2 | NN73-935 | IX |
| N7-4 | NN86-4/XSD//NN87-23 | IX | E7-3 | NN88-48/T173 | VIII | P3 | NN86-4 | IX |

续表 1

| 编号 Code | 组合/亲本名称 Cross/Parent name | 聚类结果 Cluster | 编号 Code | 组合/亲本名称 Cross/Parent name | 聚类结果 Cluster | 编号 Code | 组合/亲本名称 Cross/Parent name | 聚类结果 Cluster |
|------------|------------------------------|-----------------|------------|------------------------------|-----------------|------------|------------------------------|-----------------|
| N7-5 | NN86-4/XSD//NN87-23 | IX | E7-4 | NN88-48/T173 | VIII | P4 | NN88-48 | VIII |
| N7-6 | NN86-4/XSD//NN87-23 | IX | E8-1 | NN88-48/NXHD//sb | V | P5 | 自贡冬豆 ZGDD | IX |
| N7-7 | NN86-4/XSD//NN87-23 | IX | E8-2 | NN88-48/NXHD//sb | V | P6 | T173 | II |
| N8-1 | NN86-4/YC4 | IX | E8-3 | NN88-48/NXHD//sb | V | P7 | NT-1 | V |
| N8-2 | NN86-4/YC4 | IX | E8-4 | NN88-48/NXHD//sb | V | P8 | 南雄黄豆 NXHD | V |
| N8-3 | NN86-4/YC4 | IX | E8-5 | NN88-48/NXHD//sb | V | P9 | 汉川八月爆 HC BYB | VII |
| N8-4 | NN86-4/YC4 | IX | E9-1 | NN88-48/YC4 | IX | P10 | 滁豆 1 号 Chudou 1 | IX |
| N8-5 | NN86-4/YC4 | IX | E9-2 | NN88-48/YC4 | VII | P11 | NN493-1 | IX |
| N8-6 | NN86-4/YC4 | IX | E10-1 | N//XSD/NN88-48 | VIII | P12 | NN88-31 | IX |
| N9-1 | NN87-23/NN86-4 | IX | E10-2 | N//XSD/NN88-48 | VIII | P13 | NN87-23 | IX |
| N9-2 | NN87-23/NN86-4 | IX | E10-3 | N//XSD/NN88-48 | IX | P14 | YC4 | IX |
| N9-3 | NN87-23/NN86-4 | IX | Y1-1 | NN493-1/YC4 | IX | P15 | N7241 | III |
| N9-4 | NN87-23/NN86-4 | IX | Y1-2 | NN493-1/YC4 | IX | P16 | Vance | VI |
| N9-5 | NN87-23/NN86-4 | IX | Y1-3 | NN493-1/YC4 | IX | P17 | NN1138-2 | IX |
| N9-6 | NN87-23/NN86-4 | IX | Y1-4 | NN493-1/YC4 | IX | P18 | 油 94-412 You94-412 | IX |
| N9-7 | NN87-32/NN86-4 | IX | Y1-5 | NN493-1/YC4 | IX | P19 | Graham | VI |
| N10-1 | Sp//NN86-4/YC4 | IX | Y1-6 | NN493-1/YC4 | IX | P20 | 香水豆 XSD | IX |
| N10-2 | Sp//NN86-4/YC4 | IX | Y2-1 | NN88-31/YC4//NN73-935 | IX | P21 | 油 96-3 You 96-3 | VII |
| N10-3 | Sp//NN86-4/YC4 | IX | Y2-2 | NN88-31/YC4//NN73-935 | IX | P22 | NN87-17 | IX |
| N11-1 | You 94-412/NN86-4 | IX | Y3-1 | You 96-3//YC4/NN88-31 | IX | P23 | 油春 96-4 Youchun 96-4 | IX |
| N11-2 | You 94-412/NN86-4 | IX | Y3-2 | You 96-3//YC4/NN88-31 | IX | P24 | NH5 | VI |
| N11-3 | You 94-412/NN86-4 | VIII | Y4-1 | NIL91-1N/YC4 | IV | P25 | NG5545 | VI |
| N12-1 | Youchun 96-4/NN86-4 | IX | Y4-2 | NIL91-1N/YC4 | IV | P26 | Sp | VI |
| N12-2 | Youchun 96-4/NN86-4 | IX | Y4-3 | NIL91-1N/YC4 | IV | P27 | AGH | I |
| N12-3 | Youchun 96-4/NN86-4 | IX | Y4-4 | NIL91-1N/YC4 | IV | P28 | 楚秀 Chuxiu | IX |
| E1-1 | 22369/NN88-48 | IX | Y5-1 | Sp//NN493-1/YC4 | VIII | | | |
| E1-2 | 22369/NN88-48 | IX | Y5-2 | Sp//NN493-1/YC4 | IX | | | |

材料编号命名方式为组合号-品系号; N、E、Y 分别代表含南农 86-4、南农 88-48 和诱处 4 号核心亲本的组合。NN86-4 为南农 86-4, NN88-48 为南农 88-48, YC4 为诱处 4 号。

The material code is named as crossidentifier-line code. N, E, Y represent the crosses using the core parent Nannong 86-4, Nannong 88-48, Youchun 4 respectively. NN86-4 indicates Nannong 86-4, NN88-48 indicates Nannong 88-48, YC4 indicates Youbian 4.

1.4 基于系谱的组合品系亲缘关系分析

根据系谱,供试品系上溯至 51 个原始亲本,参考崔章林等^[19]方法计算原始亲本在每个品系中所占的比例。使用 NTSYSpc Version 2.10e 软件^[26],计算两两品系余弦距离,然后按 UPGMA 进行聚类分析。

2 结果与分析

2.1 供试材料 PAV 标记的多样性特点

221 个 PAV 标记在 154 份材料中共有 463 个等位变异,平均每个标记为 2.1 个(表 2)。其中 202 个标记有 2 个等位变异,占总标记数 91.40%, 17 个标记等位变异数为 3, 占总标记数 7.69%, 2 个标记

等位变异数为4,占总标记数0.90%。总的看,PAV标记等位变异数目较少。标记多态性信息含量指数PIC值平均为0.239,变幅为0.007~0.611,存在

较大变异。丰富度和PIC值最高的标记是位于6号染色体的06P0352。

表2 221个PAV标记在供试154份材料中的多样性指数

Table 2 Diversity parameters of 221 PAV markers in the tested 154 lines

| 标记名称 Marker name | 等位变 异数 AN | 多态信息 含量 PIC |
|------------------------|-----------------|-------------------|------------------------|-----------------|-------------------|------------------------|-----------------|-------------------|------------------------|-----------------|-------------------|
| 01P0206 | 2 | 0.371 | 05P0522 | 2 | 0.019 | 09P1243 | 2 | 0.329 | 15P0687 | 2 | 0.067 |
| 01P0361 | 2 | 0.068 | 05P0726 | 2 | 0.099 | 09P1340 | 2 | 0.169 | 15P1300 | 2 | 0.267 |
| 01P0624 | 2 | 0.109 | 05P0124 | 2 | 0.298 | 09P1364 | 2 | 0.184 | 15P1409 | 2 | 0.031 |
| 01P0849 | 2 | 0.209 | 05P0496 | 2 | 0.099 | 09P1428 | 2 | 0.025 | 15P1450 | 2 | 0.201 |
| 01P1094 | 2 | 0.353 | 05P0686 | 2 | 0.027 | 09P1523 | 2 | 0.234 | 15P1451 | 2 | 0.095 |
| 01P0504 | 2 | 0.332 | 05P0655 | 2 | 0.253 | 10P0293 | 2 | 0.235 | 15P1487 | 2 | 0.328 |
| 01P0998 | 2 | 0.289 | 05P0868 | 3 | 0.545 | 10P0368 | 2 | 0.110 | 15P1562 | 2 | 0.212 |
| 01P1352 | 2 | 0.321 | 06P0596 | 2 | 0.348 | 10P0503 | 2 | 0.078 | 16P0403 | 2 | 0.169 |
| 02P0124 | 3 | 0.400 | 06P1249 | 2 | 0.216 | 10P0576 | 2 | 0.375 | 16P0436 | 2 | 0.132 |
| 02P0820 | 2 | 0.364 | 06P1288 | 2 | 0.204 | 10P0683 | 2 | 0.031 | 16P0595 | 2 | 0.153 |
| 02P0946 | 2 | 0.195 | 06P1301 | 2 | 0.183 | 10P0919 | 2 | 0.014 | 16P0781 | 2 | 0.330 |
| 02P1379 | 2 | 0.315 | 06P1360 | 2 | 0.242 | 10P1217 | 3 | 0.104 | 16P1098 | 2 | 0.315 |
| 02P0564 | 2 | 0.341 | 06P1362 | 2 | 0.265 | 10P1243 | 2 | 0.050 | 16P0272 | 2 | 0.368 |
| 02P0784 | 2 | 0.374 | 06P1365 | 2 | 0.283 | 11P0009 | 2 | 0.126 | 16P0616 | 2 | 0.359 |
| 02P0169 | 3 | 0.394 | 06P1371 | 2 | 0.223 | 11P0027 | 2 | 0.329 | 16P0626 | 2 | 0.354 |
| 02P0368 | 2 | 0.013 | 06P0067 | 2 | 0.373 | 11P0034 | 2 | 0.119 | 16P0856 | 2 | 0.355 |
| 02P0480 | 3 | 0.541 | 06P0568 | 2 | 0.351 | 11P0042 | 2 | 0.119 | 16P1017 | 2 | 0.188 |
| 02P1028 | 2 | 0.309 | 06P1284 | 2 | 0.352 | 11P0058 | 2 | 0.112 | 17P0018 | 2 | 0.374 |
| 03P1236 | 2 | 0.177 | 06P1366 | 2 | 0.362 | 11P0269 | 2 | 0.367 | 17P0117 | 3 | 0.093 |
| 03P1072 | 2 | 0.193 | 06P1581 | 3 | 0.297 | 11P0400 | 2 | 0.299 | 17P0136 | 2 | 0.019 |
| 03P0995 | 2 | 0.360 | 06P0222 | 2 | 0.067 | 11P1085 | 2 | 0.375 | 17P0253 | 3 | 0.508 |
| 03P0504 | 2 | 0.271 | 06P0352 | 4 | 0.611 | 12P0437 | 2 | 0.306 | 17P1020 | 2 | 0.254 |
| 03P0416 | 2 | 0.372 | 06P1392 | 2 | 0.348 | 12P0467 | 2 | 0.095 | 17P1033 | 2 | 0.242 |
| 03P0069 | 2 | 0.067 | 06P1411 | 2 | 0.355 | 12P0669 | 2 | 0.278 | 17P1109 | 2 | 0.295 |
| 03P0273 | 3 | 0.353 | 06P1426 | 2 | 0.344 | 12P1027 | 3 | 0.390 | 17P1187 | 2 | 0.342 |
| 03P0364 | 2 | 0.320 | 07P0051 | 2 | 0.144 | 12P1060 | 3 | 0.382 | 17P0788 | 2 | 0.309 |
| 03P0390 | 2 | 0.331 | 07P0389 | 2 | 0.374 | 12P1230 | 2 | 0.129 | 17P1384 | 2 | 0.323 |
| 03P0447 | 2 | 0.294 | 07P0595 | 2 | 0.370 | 12P1234 | 2 | 0.178 | 18P0141 | 2 | 0.185 |
| 03P0457 | 2 | 0.293 | 07P0765 | 2 | 0.303 | 12P0081 | 2 | 0.362 | 18P0247 | 2 | 0.307 |
| 03P0490 | 2 | 0.297 | 07P0833 | 2 | 0.159 | 12P0195 | 2 | 0.346 | 18P0397 | 2 | 0.280 |
| 03P0503 | 2 | 0.267 | 07P1368 | 2 | 0.283 | 12P0390 | 2 | 0.372 | 18P0599 | 2 | 0.322 |
| 03P0606 | 2 | 0.345 | 07P0167 | 2 | 0.183 | 13P0424 | 2 | 0.372 | 18P1108 | 2 | 0.104 |
| 03P0633 | 2 | 0.133 | 07P0793 | 2 | 0.191 | 13P1374 | 2 | 0.088 | 18P1146 | 2 | 0.365 |
| 03P0642 | 2 | 0.347 | 07P0917 | 2 | 0.038 | 13P1655 | 2 | 0.095 | 18P1186 | 2 | 0.349 |
| 03P0689 | 2 | 0.371 | 07P1175 | 2 | 0.273 | 13P1810 | 2 | 0.090 | 18P1405 | 2 | 0.152 |
| 03P0694 | 2 | 0.371 | 08P0549 | 2 | 0.356 | 13P1852 | 2 | 0.055 | 18P1783 | 2 | 0.360 |
| 03P0926 | 2 | 0.350 | 08P0671 | 2 | 0.129 | 13P1902 | 2 | 0.043 | 18P1786 | 2 | 0.117 |
| 03P0926 | 2 | 0.374 | 08P0784 | 2 | 0.370 | 13P0179 | 2 | 0.363 | 19P0128 | 3 | 0.137 |
| 03P1147 | 2 | 0.281 | 08P1233 | 2 | 0.171 | 13P0530 | 2 | 0.218 | 19P0363 | 2 | 0.160 |
| 03P1356 | 2 | 0.274 | 08P0381 | 2 | 0.369 | 13P0627 | 2 | 0.299 | 19P0676 | 2 | 0.201 |
| 04P0604 | 2 | 0.019 | 08P0941 | 2 | 0.251 | 13P1078 | 2 | 0.364 | 19P0866 | 2 | 0.050 |
| 04P0619 | 2 | 0.145 | 08P0994 | 2 | 0.375 | 14P0042 | 2 | 0.296 | 19P0900 | 2 | 0.333 |
| 04P0720 | 2 | 0.202 | 08P1206 | 2 | 0.072 | 14P0077 | 2 | 0.019 | 19P1169 | 3 | 0.482 |
| 04P0736 | 2 | 0.109 | 09P0140 | 2 | 0.050 | 14P0417 | 2 | 0.372 | 19P1286 | 3 | 0.399 |

续表 2

| 标记名称 Marker name | 等位变 异数 AN | 多态信息 含量 PIC |
|------------------------|-----------------|-------------------|------------------------|-----------------|-------------------|------------------------|-----------------|-------------------|------------------------|-----------------|-------------------|
| 04P0833 | 2 | 0.038 | 09P0222 | 2 | 0.038 | 14P0598 | 2 | 0.109 | 19P1295 | 2 | 0.038 |
| 04P0851 | 2 | 0.084 | 09P0314 | 2 | 0.026 | 14P0641 | 2 | 0.236 | 20P0160 | 2 | 0.323 |
| 04P0061 | 2 | 0.212 | 09P0516 | 2 | 0.176 | 14P0979 | 2 | 0.370 | 20P0796 | 2 | 0.038 |
| 04P0084 | 2 | 0.007 | 09P0816 | 2 | 0.373 | 14P1166 | 2 | 0.359 | 20P0850 | 2 | 0.177 |
| 04P0104 | 4 | 0.190 | 09P0864 | 2 | 0.326 | 14P1209 | 2 | 0.374 | 20P0874 | 2 | 0.099 |
| 04P0348 | 2 | 0.166 | 09P0916 | 3 | 0.428 | 14P0760 | 2 | 0.292 | 20P0978 | 3 | 0.412 |
| 04P0461 | 2 | 0.375 | 09P1016 | 2 | 0.235 | 14P0811 | 2 | 0.296 | 20P1079 | 2 | 0.132 |
| 04P0678 | 2 | 0.026 | 09P1033 | 2 | 0.146 | 15P0363 | 2 | 0.067 | 20P1095 | 2 | 0.165 |
| 04P0687 | 2 | 0.013 | 09P1183 | 2 | 0.110 | 15P0365 | 2 | 0.118 | 20P1139 | 2 | 0.232 |
| 04P0979 | 2 | 0.319 | 09P1202 | 2 | 0.273 | 15P0551 | 2 | 0.370 | Min | 2 | 0.007 |
| 04P1037 | 2 | 0.056 | 09P1208 | 2 | 0.273 | 15P0554 | 2 | 0.038 | Max | 4 | 0.611 |
| 05P0332 | 2 | 0.286 | 09P1211 | 3 | 0.533 | 15P0642 | 2 | 0.147 | Mean | 2.1 | 0.239 |

标记命名方式为染色体序号 + P + 标记编号,与 Wang 等^[14]对应。AN 表示等位变异数; PIC 表示多态性信息含量指数。

The marker name is showed as chromosome number + P + marker code followed Wang^[14]. AN: Allele number; PIC: Polymorphic information content.

221 个标记中,74 个位于注释基因序列区段内,在供试材料中共发现 156 个等位变异,平均每个标记有 2.11 个,标记多态性信息含量指数平均为 0.250,变幅为 0.007 ~ 0.533(表 3)。147 个位于非基因区段的标记,共发现 307 个等位变异,平均每个标记有 2.09 个,标记 PIC 值平均为 0.234,变幅为

0.013 ~ 0.611。总的看,基因内的标记数比基因间少。基因内 PAV 标记的平均等位变异数和多态性信息含量指数与非基因区相当,丰富度和 PIC 值最高的标记 06P0352 位于非基因区段,两类标记均存在一批多态性高的标记可供选用(表 2)。

表 3 大豆基因内与基因间 PAV 标记多态性信息

Table 3 Polymorphism of the PAV markers located in gene or non-coding sequence regions

| 标记类型 Marker type | 标记数 Marker number | 等位变异数 Allele number | | 多态性信息含量指数 PIC value | |
|---------------------------|----------------------|---------------------|----------|---------------------|---------------|
| | | 平均 Average | 变幅 Range | 平均 Average | 变幅 Variation |
| 基因内 Gene-based PAV | 74 | 2.11 | 2 ~ 4 | 0.250 | 0.007 ~ 0.533 |
| 基因间 Non-coding region PAV | 147 | 2.09 | 2 ~ 4 | 0.234 | 0.013 ~ 0.611 |

2.2 供试杂交组合及材料间的遗传关系

2.2.1 杂交组合基于系谱信息的聚类分析 从图 1a 可见,34 个组合在 0.158 处被分为 5 类,第 I 类包括 24 个组合,可分 2 个亚类,第 1 亚类包括 12 个含南农 86-4(P3)核心亲本的组合以及含南农 88-48(P4)和诱处 4 号(P14)的组合各 1 个(E6、Y5),即该类以南农 86-4 血缘为主。其中 Y5 与 N3、N11 和 N8 聚为一小类,原因是该三交组合(Sp//NN493-1/YC4)的亲本中 Sp 是以南农 86-4 为回交亲本与国外引种材料 D76-1609 回交 2 次育成的 BC₂F₄选系,南农 86-4 的血缘理论上占 0.375。E6(NN88-48/Sp)与 N4(NN86-4/Sp)两个则含有共同父本 Sp。第 2 亚类 10 个组合中有 7 个含有核心亲本南农 88-48,另 3 个含诱处 4 号的组合 Y1(NN493-1/YC4)、Y2(NN88-31/YC4//NN73-935) 和 Y4(NIL91-1N/YC4) 归在一起,系谱分析发现各组合中南农 493-1 的血缘分别为占 0.5, 0.22 和 0.19, 均占较高的比

例,故与南农 88-48(南农 493-1 的血缘占 0.25)为亲本的组合聚在一起。三交组合 Y3(You 96-3//YC4//NN88-31)被单独归为第 II 类。第 III 类的 2 个组合 E10(N//XSD/NN88-48) 和 Y8(XSD/YC4) 都有亲本香水豆。第 IV 类的 2 个组合 E8(NN88-48/NXHD//sb) 和 Y6(Chuxiu//NXHD/YC4) 都有亲本南雄黄豆。第 V 类的 5 个组合都含核心亲本诱处 4 号。总的看,34 个组合根据系谱关系大致可归为与 3 个核心亲本对应的类中。南农 86-4 与南农 88-48 因含有共同祖先亲本奉贤穗稻黄,二者关系较近。符合程度与 3 个核心亲本的遗传背景有关,含南农 86-4 的组合基本集中在一类,含诱处 4 号的组合较为分散。

2.2.2 杂交组合基于 PAV 标记的聚类分析 使用 PowerMarker V 3.25 软件计算 34 个组合间的遗传距离,变幅为 0.035 ~ 0.375, 平均为 0.184。从图 1b 可见,在 0.052 4 处被分为 6 类,第 I ~ III 类分别只

有1个组合(Y4、E1和Y7),这3个组合除核心亲本外的另一个亲本的系谱都无法追溯。第IV~VI类分别与南农88-48、南农86-4和诱处4号为亲本的组合对应,3个核心亲本也分别位于相应类中。第IV类12个组合中,8个含有核心亲本南农88-48,其祖先亲本包括奉贤穗稻黄、南农493-1、SRF400。该类中N2、N3、N11、Y5四个组合中(表1),N的3个组合的核心亲本南农86-4的原始亲本为奉贤穗稻黄,而且N2的亲本NH5为美国品种,N3的亲本NT-1也含有国外引种材料PI227224血缘,Y5的亲

本则包括南农493-1。即这4个组合与南农88-48拥有个别相同的祖先亲本,衍生品系的血缘;第V类8个都为N编号组合,即亲本都有核心亲本南农86-4;第VI类11个组合的亲本中都有诱处4号。

与基于系谱信息聚类结果相比,利用PAV标记可将核心亲本南农86-4、南农88-48和诱处4号分成相对独立的3大类。南农86-4和南农88-48的祖先亲本中都有奉贤穗稻黄,含这两个亲本的组合根据系谱关系被聚为一类(图1a),而利用PAV标记则能区分出二者的差异。

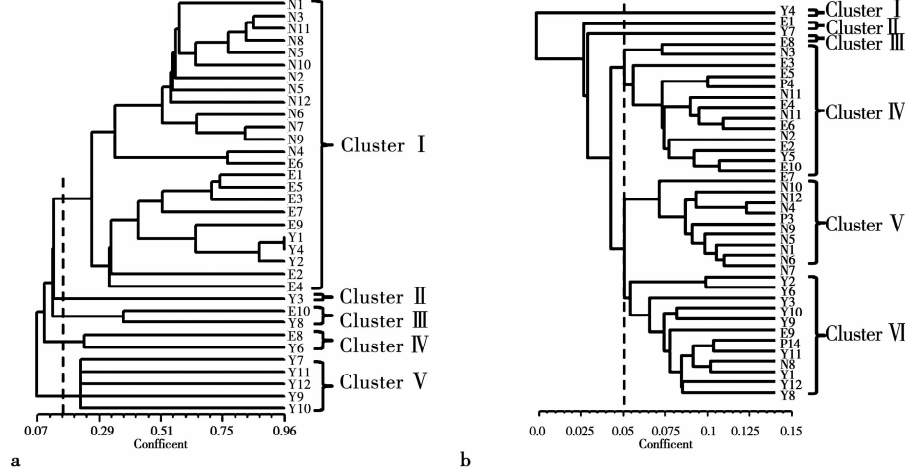


图1 34个组合按系谱(a)和PAV标记数据(b)所得的聚类树

Fig. 1 The cluster results of the 34 crosses based on the data of pedigree (a) and PAV marker (b)

2.2.3 亲本及品系间基于PAV标记的亲缘关系
 供试154份大豆材料间的Nei遗传距离在0~0.442之间,平均为0.264。所有材料可分为9类(表1),第I、II、III、IV和VII类材料较少,第V类有10个材料,第VI类有11个材料,第VIII类有30个材料,第IX类有89个材料。总的看,同一组合的材料多聚在一起。第VIII类包括1个亲本和29个品系,E编号的品系有24个。第IX类包括14个亲本和75个品系,N编号的品系有44个,Y编号的有23个,可大致分为2个亚群。表明由核心亲本南农88-48、南农86-4、诱处4号衍生的大部分品系可按各自核心亲本归在一起,后两个亲本关系较近。此外,不同类群间也出现系谱相同或相似的材料并没有聚为一组的现象,如N3组合、E6组合等,这可能与其遗传背景有关,反映了杂交重组后的不同品系间遗传差异。

遗传距离值的大小可大致反映材料间亲缘关系的远近。28个亲本中,16个南方亲本与126个品系间的平均遗传距离为0.266,而黄淮和国外引种的5和7个亲本与所有品系间的遗传距离平均值分别为0.285和0.310,反映了不同地理来源亲本对后代品系的贡献存在差异,本地亲本作用更大。3

个核心亲本南农86-4、南农88-48和诱处4号在含有各自血缘的亚群中的平均遗传距离分别为0.15,0.19和0.18,均小于其他亲本相应值。所有品系平均遗传距离最小的5个亲本为南农493-1(0.21)、南农86-4(0.22)、南农1138-2、香水豆、南农73-935(均为0.23);最大的5个是南雄黄豆、汉川八月爆、T173、AGH、N5545(均为0.33),主要是异地的地方品种。

2.3 育种核心亲本对衍生品系的遗传贡献

进一步计算核心亲本中PAV标记特有等位变异在单交组合后代品系中的遗传贡献率。从表4可见,核心亲本特有等位变异的平均遗传贡献率在16个组合均高于50%,占69.6%。9个N类型组合中,南农86-4特有等位变异的平均遗传贡献率高于50%的有7个,最高的N9组合中,核心亲本南农86-4的贡献率达76%。低于50%的N3和N6分别为41.29%、48.91%,但其中也有品系高于50%。7个E类型组合中,南农88-48对后代品系的平均遗传贡献率均高于50%,最大值为76.54%(E4),最小值为56.01%(E9)。在所有组合中,只有E6中有1个品系(44.64%)低于50%。7个Y类型组合

中,核心亲本诱处4号只在Y1(70.95%)和Y12(69.76%)的平均贡献率高于50%,且都作为父本。全部三交组合核心亲本PAV标记等位变异的平均贡献率都超过了理论值(表4),只有N10中有1个

品系(39.47%)低于理论值43.75%。总的看,在29个组合中,有22个组合(占75.9%)的核心亲本平均贡献率高于理论值。

表4 组合中核心亲本PAV标记等位变异对衍生品系的遗传贡献

Table 4 Contribution rate of core parents to the derived lines based on PAV markers

| 组合 Cross | 家系数 Number of line | 多态标记数 Marker number | 核心亲本标记等位变异贡献率 Contribution rate of core parent /% | | |
|-------------------|-----------------------|------------------------|---|---|----------------|
| | | | 理论值 Expected value | 实际值 Observed values | 平均数 Average |
| N1 [#] | 5 | 64 | 50.00 | 43.84, 58.67, 70.15, 71.11, 74.19 | 63.59 ± 12.52 |
| N2 | 4 | 83 | 50.00 | 42.86, 52.94, 54.43, 62.67 | 53.22 ± 8.13 |
| N3 | 3 | 75 | 50.00 | 32.88, 35.14, 55.84 | 41.29 ± 12.66 |
| N5 | 2 | 85 | 50.00 | 52.27, 64.20 | 58.24 ± 8.43 |
| N6 | 2 | 46 | 50.00 | 43.48, 54.35 | 48.91 ± 7.69 |
| N8 | 6 | 72 | 50.00 | 37.14, 51.56, 53.33, 56.58, 59.46, 63.51 | 53.60 ± 9.13 |
| N9 [#] | 7 | 70 | 50.00 | 67.65, 68.12, 68.57, 81.43, 81.69, 81.69, 82.86 | 76.00 ± 7.40 |
| N11 [#] | 3 | 65 | 50.00 | 50.00, 58.67, 66.67 | 58.44 ± 8.34 |
| N12 [#] | 3 | 57 | 50.00 | 56.14, 59.65, 73.21 | 63.00 ± 9.02 |
| E2 | 3 | 66 | 50.00 | 51.47, 56.72, 60.94 | 56.37 ± 4.74 |
| E3 | 4 | 71 | 50.00 | 57.14, 57.97, 59.15, 61.11 | 58.84 ± 1.72 |
| E4 | 6 | 64 | 50.00 | 60.32, 71.93, 81.54, 81.82, 81.82, 81.82 | 76.54 ± 8.87 |
| E5 | 3 | 70 | 50.00 | 61.11, 62.50, 63.08 | 62.23 ± 1.01 |
| E6 | 4 | 57 | 50.00 | 44.64, 80.85, 80.95, 80.95 | 71.85 ± 18.14 |
| E7 | 4 | 85 | 50.00 | 55.95, 67.47, 68.24, 68.60 | 65.07 ± 6.09 |
| E9 | 2 | 74 | 50.00 | 54.22, 57.81 | 56.01 ± 2.54 |
| Y1 [#] | 6 | 77 | 50.00 | 60.26, 61.84, 72.73, 76.62, 76.62, 77.63 | 70.95 ± 7.87 |
| Y7 [#] | 4 | 82 | 50.00 | 45.78, 48.75, 48.78, 50.62 | 48.48 ± 2.00 |
| Y8 [#] | 2 | 44 | 50.00 | 30.43, 38.10 | 34.27 ± 5.42 |
| Y9 | 3 | 77 | 50.00 | 42.47, 50.00, 53.85 | 48.77 ± 5.79 |
| Y10 | 2 | 68 | 50.00 | 35.82, 47.06 | 41.44 ± 7.95 |
| Y11 | 4 | 42 | 50.00 | 41.67, 43.48, 56.10, 58.14 | 49.85 ± 8.47 |
| Y12 [#] | 4 | 65 | 50.00 | 65.63, 70.69, 72.97 | 69.76 ± 3.76 |
| N7 ^{\$} | 7 | 28 | 25.00 | 50.00, 50.00, 56.25, 58.33, 59.26, 65.52, 70.37 | 58.53 ± 7.53 |
| N10 ^{\$} | 3 | 43 | 43.75 | 39.47, 45.65, 50.00 | 45.04 ± 5.29 |
| Y2 ^{\$} | 2 | 29 | 25.00 | 25.64, 26.32 | 25.98 ± 0.48 |
| Y3 ^{\$} | 2 | 27 | 25.00 | 60.71, 65.38 | 63.05 ± 3.30 |
| Y5 ^{\$} | 3 | 42 | 25.00 | 33.33, 55.00, 58.14 | 48.82 ± 13.51 |
| Y6 ^{\$} | 3 | 31 | 25.00 | 46.88, 46.88, 51.72 | 48.49 ± 2.80 |

[#]表示该组合中核心亲本作为父本; ^{\$}指三交组合。

The cross with the [#] represents the core parent was used as male parent; ^{\$} indicates a three-way cross.

单交组合,核心亲本标记等位变异平均贡献率高于50%的组合中,只有N1、N2、N8和E6组合中各存在1个品系低于50%;低于50%的组合中(N3、N6、Y7、Y8、Y9、Y10和Y11),N3、N6、Y7、Y9和Y11各自有品系高于50%。含核心亲本南农86-4(N类型)、南农88-48(E类型)衍生的61个品系中,有54个(占88.5%)品系基于PAV标记的核心亲本血缘均超过50%的理论值。衍生品系的遗传组成与核心亲本有更高的相似性,而不是双亲的平均值。在三交组合中,情况同样如此。

3 结论与讨论

大量的全基因组测序研究使人们对植物基因组结构的了解不断深入,分子标记开发工作有了较大进展。基因组段结构变异(structure variation)作为一种特殊的变异类型受到关注。较长DNA片段序列变异(几百到几千bp)包括DNA片段缺失、重复、拷贝数变异(copy number variations, CNVs)以及插入、倒位。与SNP比较,结构变异虽然发生的频率较低,在基因组内也是广泛存在的^[27]。大豆中有

大量PAV结构变异标记^[28]。Wang等^[14]在33份野生和栽培大豆中检测覆盖全基因组的33 127个PAV标记,为进一步利用奠定基础。Li等^[29]利用99个SSR标记和554个SNP分析中国303个野生栽培大豆,发现SSR标记的平均等位变异数为21.5个,Nei's基因多样性指数为0.77,而SNP的遗传多样性指数只有0.35。本研究中154个育成品系及其亲本基于221个PAV标记的遗传多样性指数为0.29。虽然该标记的多态性较低^[30],但该标记带型清晰、容易分辨。本文利用PAV分子标记能较好地揭示了这些亲本之间的相互关系,进一步证实该标记可用于种质鉴定,其中也有一批多样性指数高的标记,如PIC>0.35的有56个标记,这些可作为遗传多样性等研究的优先选用的标记(表2)。

大豆为严格自花授粉作物,育成品种通常有明确的系谱信息。基于系谱来研究大豆品种的遗传关系已被育种家普遍采用^[19,31-32]。但系谱分析只能将来自相同组合的品系聚为一类,PAV标记可进一步检测组合内不同品系间的遗传变异。从34个组合聚类分析结果来看,按PAV标记数据的聚类结果和系谱聚类结果有很大部分是相同的。另一方面,由于育种过程中的差异选择,同一组合的不同品系间会存在差异,有部分材料在两种方法的聚类中不一致。综合分子标记和系谱信息能更准确研究品系间的遗传差异^[33],这些信息可用于育种实践。本研究中南农86-4、南农88-48为南方夏大豆最主要核心亲本南农1138-2和南农493-1衍生品种,是本地品种最主要血缘,而诱处4号则可追溯到个黄淮和东北的核心祖先亲本。以诱处4号作为外来血缘组配的Y5组合(Sp//NN493-1/YC4)后代表现突出,从中选育出的南农34已通过江苏省和江西省审定。

在当令作物育种过程中,育种家不断地对作物目标性状进行选择,致使后代传承不同亲本血缘的份额出现差异。核心亲本可能携带更多控制重要农艺性状的基因,在育种过程中经历了较强人为选择压力,从而造成更多选择牵连效应,保留传递给后代,导致了这种现象的发生,其中许多优异等位变异有待于进一步发掘。Shoemaker等^[34]认为植物育种实际上反映了育种家对农艺性状表型的“操纵”,高产、抗病和优质等性状一直受到强烈选择。Christopher等^[35]采用SSR分子标记分析了澳大利亚小麦品种“Cook”和大麦品种“Triumph”分别在衍生品种的遗传,发现一些高频率选择位点与重要农艺性状相关。找到发挥重要作用的关键基因组区域将有助于阐明核心亲本起作用的遗传本质^[36]。

本研究也发现一些核心亲本的高频率传递标记所在染色体区间存在许多农艺品质性状的QTL,如06P1426两侧各10 cM区间内,与产量及百粒重、生育期、株高和倒伏性、蛋白质和优质含量等相关的QTL在Soybase的QTL数据库已报道有65个(次);同样,标记07P0389、09P0916两侧分别报道有22和24个;15P0551和18P0397两侧各有9个QTL。

221个PAV标记在供试154份大豆材料的平均等位变异数为2.1个,多态性信息含量指数(PIC)平均为0.239。34个组合按PAV标记信息的聚类结果与基于系谱的归类相对一致,前者可进一步反映同一组合中不同品系间的遗传差异。对单交和三交组合PAV多态标记分析表明核心亲本对衍生品系的遗传贡献高于其他亲本,来自本生态区的亲本与所有品系的遗传距离最小。PAV标记可以有效揭示供试材料的遗传多样性,相较于系谱信息,其能更好地揭示核心亲本血缘在后代中的传递特点。

参考文献

- [1] Collard B C Y, Jahufer M Z Z, Brouwer J B, et al. An introduction to markers, quantitative trait loci (QTL) mapping and marker-assisted selection for crop improvement: The basic concepts [J]. *Euphytica*, 2005, 142(1-2): 169-196.
- [2] Jones N, Ougham H, Thomas H, et al. Markers and mapping revisited: finding your gene[J]. *New Phytologist*, 2009, 183(4): 935-966.
- [3] Xu Y, Lu Y, Xie C, et al. Whole-genome strategies for marker-assisted plant breeding[J]. *Molecular Breeding*, 2012, 29(4): 833-854.
- [4] Springer N M, Ying K, Fu Y, et al. Maize inbreds exhibit high levels of copy number variation (CNV) and presence/absence variation (PAV) in genome content[J]. *PLoS Genetics*, 2009, 5(11): e1000734.
- [5] Gao Q, Yue G, Li W, et al. Recent progress using high-throughput sequencing technologies in plant molecular breeding[J]. *Journal of Integrative Plant Biology*, 2012, 54(4): 215-227.
- [6] Iafrate A J, Feuk L, Rivera M N, et al. Detection of large-scale variation in the human genome[J]. *Nature Genetics*, 2004, 36(9): 949-951.
- [7] Kern A D, Begun D J. Recurrent deletion and gene presence/absence polymorphism: telomere dynamics dominate evolution at the tip of 3L in *Drosophila melanogaster* and *D. simulans*[J]. *Genetics*, 2008, 179(2): 1021-1027.
- [8] Arrach N, Porwollik S, Cheng P, et al. *Salmonella* serovar identification using PCR-based detection of gene presence and absence [J]. *Journal of Clinical Microbiology*, 2008, 46(8): 2581-2589.
- [9] Batley J, Barker G, O'Sullivan H, et al. Mining for single nucleotide polymorphisms and insertions/deletions in maize expressed sequence tag data[J]. *Plant Physiology*, 2003, 132(1): 84-91.

- [10] García-Lor A, Luro F, Navarro L, et al. Comparative use of InDel and SSR markers in deciphering the interspecific structure of cultivated citrus genetic diversity: A perspective for genetic association studies[J]. *Molecular Genetics and Genomics*, 2012, 287(1): 77-94.
- [11] Ollitrault F, Terol J, Martin A A, et al. Development of InDel markers from *Citrus clementina* (Rutaceae) BAC-end sequences and interspecific transferability in *Citrus*[J]. *American Journal of Botany*, 2012, 99(7): e268-e273.
- [12] Liu B, Wang Y, Zhai W, et al. Development of In Del markers for *Brassica rapa* based on whole-genome re-sequencing[J]. *Theoretical and Applied Genetics*, 2013, 126(1): 231-239.
- [13] Zhang L M, Luo H, Liu Z Q, et al. Genome-wide patterns of large-size presence/absence variants in sorghum [J]. *Journal of Integrative Plant Biology*, 2014, 56(1): 24-37.
- [14] Wang Y, Lu J, Chen S, et al. Exploration of presence/absence variation and corresponding polymorphic markers in soybean genome[J]. *Journal of Integrative Plant Biology*, 2014, 56(10): 1009-1019.
- [15] 庄巧生. 中国小麦品种改良及系谱分析[M]. 北京: 中国农业出版社, 2003. (Zhuang Q S. Chinese wheat improvement and pedigree analysis[M]. Beijing: China Agriculture Press, 2003.)
- [16] Carter T E Jr, Nelson R L, Sneller C H, et al. Genetic diversity in soybean[M]// Boerma H R, Specht J E. Soybean: Improvement, production and uses. 3rd ed. Agronomy Monograph. Madison: ASA and CSSA, 2004: 303-416.
- [17] 熊冬金, 赵团结, 盖钧镒. 中国大豆育成品种亲本分析[J]. 中国农业科学, 2008, 41(9): 2589-2598. (Xiong D J, Zhao T J, Gai J Y. Parental analysis of soybean cultivars released in China[J]. *Scientia Agricultura Sinica*, 2008, 41(9): 2589-2598.)
- [18] 关荣霞, 张磊, 刘章雄, 等. DNA 导入和系选大豆品种及其亲本遗传关系的 SSR 标记分析[J]. 植物学报, 2010, 45(1): 36-43. (Guan R X, Zhang L, Liu Z X, et al. Relationship analysis of soybean cultivars bred by intracultivar selection or pollen tube pathway and parents by simple sequence repeat markers[J]. *Chinese Bulletin of Botany*, 2010, 45(1): 36-43.)
- [19] 崔章林, 盖钧镒, Carter T E J, 等. 中国大豆育成品种及其系谱分析(1923-1995)[M]. 北京: 中国农业出版社, 1998. (Cui Z L, Gai J Y, Carter T E Jr, et al. The released Chinese soybean cultivars and their pedigree analysis (1923-1995)[M]. Beijing: China Agriculture Press, 1998.)
- [20] 刘佑斌, 盖钧镒, 游明安. 高产早熟夏大豆新品种南农 88-48 的选育研究[J]. 南京农业大学学报, 1995, 18(3): 1-6. (Liu Y B, Gai J Y, You M A. Development of soybean cultivar with high yield and early maturity: Nannong 88-48[J]. *Journal of Nanjing Agricultural University*, 1995, 18(3): 1-6.)
- [21] 张性坦, 赵存, 柏惠侠, 等. 夏大豆诱处 4 号公顷产 4500 kg 生理指标研究[J]. 中国农业科学, 1996, 29(6): 46-54. (Zhang X T, Zhao C, Bai H X, et al. Study on physiological indexes of summer soybean variety Youchu 4 yielding 4500 kg·ha⁻¹ [J]. *Scientia Agricultura Sinica*, 1996, 29(6): 46-54.)
- [22] Doyle J J. Isolation of plant DNA from fresh tissue[J]. *Focus*, 1990, 12: 13-15.
- [23] Liu K J, Muse S V. PowerMarker: An integrated analysis environment for genetic marker analysis[J]. *Bioinformatics*, 2005, 21(9): 2128-2129.
- [24] Botstein D, White R L, Skolnick M, et al. Construction of a genetic linkage map in man using restriction fragment length polymorphisms[J]. *American Journal of Human Genetics*, 1980, 32(3): 314.
- [25] Nei M, Tajima F, Tateno Y. Accuracy of estimated phylogenetic trees from molecular data[J]. *Journal of Molecular Evolution*, 1983, 19(2): 153-170.
- [26] Rohlf F J. NTSYS-PC: Numerical taxonomy and multivariate analysis system[G]. New York: Exeter Software, 1992.
- [27] Saxena R K, Edwards D, Varshney R K. Structural variations in plant genomes[J]. *Briefings in Functional Genomics*, 2014, 13(4): 296-307.
- [28] Lam H M, Xu X, Liu X, et al. Resequencing of 31 wild and cultivated soybean genomes identifies patterns of genetic diversity and selection[J]. *Nature Genetics*, 2010, 42(12): 1053-1059.
- [29] Li Y H, Li W, Zhang C, et al. Genetic diversity in domesticated soybean (*Glycine max*) and its wild progenitor (*Glycine soja*) for simple sequence repeat and single-nucleotide polymorphism loci [J]. *New Phytologist*, 2010, 188(1): 242-253.
- [30] 冯芳君, 罗利军, 李茨, 等. 水稻 InDel 和 SSR 标记多态性的比较研究[J]. 分子植物育种, 2005, 3(5): 725-730. (Feng F J, Luo L J, Li Y, et al. Comparative analysis of polymorphism of InDel and SSR markers in rice[J]. *Molecular Plant Breeding*, 2005, 3(5): 725-730.)
- [31] Bernard R L, Juvik G A, Hartwig E E, et al. Origins and pedigrees of public soybean varieties in the United States and Canada [R]. US Department of Agriculture, Technical Bulletin. 1988, No. 1764.
- [32] Carter T E J, Gizlice Z, Burton J W. Coefficient-of-parentage and genetic similarity estimates for 258 north America soybean cultivars by public agencies during 1945-1988[R]. US Department of Agriculture, Technical Bulletin, 1993, No. 1814.
- [33] 赵战胜, 喻树迅, 范秀丽, 等. 北疆早熟陆地棉品种的遗传多样性分析[J]. 棉花学报, 2012, 24(6): 473-480. (Zhao Z S, Yu S X, Fan S L, et al. Analysis of genetic diversity of early maturing upland cotton varieties in northern Xinjiang[J]. *Cotton Science*, 2012, 24(6): 473-480.)
- [34] Shoemaker R C, Guffy R D, Lorenzen L L, et al. Molecular genetic mapping of soybean: Map utilization[J]. *Crop Science*, 1992, 32(5): 1091-1098.
- [35] Christopher M, Mace E, Jordan D, et al. Applications of pedigree-based genome mapping in wheat and barley breeding programs [J]. *Euphytica*, 2007, 154(3): 307-316.
- [36] 李小军, 徐鑫, 刘伟华, 等. 利用 SSR 标记探讨骨干亲本欧柔在衍生品种的遗传[J]. 中国农业科学, 2009, 42(10): 3397-3404. (Li X J, Xu X, Liu W H, et al. Genetic diversity of the founder parent Orofen and its progenies revealed by SSR markers[J]. *Scientia Agricultura Sinica*, 2009, 42(10): 3397-3404.)